

ارتقای الگوریتم تصویر گرادیان کارمارکار برای حل مسائل برنامه ریزی خطی

دکتر علاء الدین ملکⁱ؛ رسول ناصریⁱⁱ

چکیده

هدف اصلی از این کار ارائه نوع جدیدی از الگوریتم کارمارکار برای حل مسائل برنامه ریزی خطی است که همگرایی سریع - تری دارد. در این نوع از الگوریتم نقطه درونی، پارامتر α_n جدیدی ارائه می شود، که نقش مهمی را در همگرایی سریع تر این روش در مقایسه با روش های کارمارکار [5] و شریگور [9] را دارد. تعداد تکرارهای متناظر با روش های مذکور برای مسائل برنامه ریزی خطی با ابعاد مختلف آورده شده است. نتایج عددی نشان می دهد که وقتی از α_n جدید در الگوریتم کارمارکار کلاسیک استفاده می شود، تعداد تکرارها نسبت به تعداد تکرارهای روش های دیگر کمتر است. همچنین با افزایش دقت یا عبارتی با کاهش تولرانس، تفاوت تعداد تکرارها محسوس تر می شود.

کلمات کلیدی

برنامه ریزی خطی، الگوریتم کارمارکار، روش نقطه دونی

Enhancing Karmarkar's Gradient Projected Algorithm for Solving Linear Programming Problems

Alaeddin Malek; and Rasool Naseri

ABSTRACT:

The main aim of this work is to provide a new variant of Karmarkar's algorithm to give a new high-performance algorithm for solving linear programming problems. Modification of the new interior point algorithm presents the new parameter which has a great role in faster convergence of the new method comparing other methods presented by Karmarkar [5] and Scherijver [9]. Number of iterations for the successful convergence for problems of different sizes is given. Numerical results show that when we use new parameter in the classical Karmarkar algorithm, the needed number of iterations is less than the iterations for the above two mentioned methods

KEYWORDS

Linear programming, Karmarkar's algorithm, Interior point method

ⁱ استادیار گروه ریاضی دانشگاه تربیت مدرس تهران: mala@modares.ac.ir

ⁱⁱ کارشناس ارشد ریاضی کاربردی دانشگاه تربیت مدرس تهران rasool_nasseri@yahoo.com



۱- مقدمه

$$\alpha = \frac{1}{1+r} \text{ یا } \alpha = \frac{n-1}{3n} \text{ و } r = \sqrt{\frac{1}{n(n-1)}}$$

قرار دهید

$$X_0 = (1/n, \dots, 1/n):$$

گام اصلی: اگر $C'X < \varepsilon$ عملیات گرد کردن بهینه را برای تعیین یک جواب بهینه به کار ببرید و توقف کنید. در غیر این صورت تعریف کنید:

$$D_k = \text{diag}\{x_{k1}, \dots, x_{km}\}$$

$$P = \begin{bmatrix} AD_k \\ 1 \end{bmatrix}$$

$$Y_0 = (1/n, \dots, 1/n)$$

$$\bar{C} = C' D_k$$

سپس محاسبه کنید:

$$C_p = [I - P'(PP')P]\bar{C}'$$

به طوری که :

$$Y_{new} = Y_0 - \alpha r \frac{C_p}{\|C_p\|}$$

بنابراین $X_k = \frac{D_k Y_{new}}{1 \cdot D_k Y_{new}}$ حاصل می شود. k را یک واحد افزایش داده و گام اصلی را تکرار کنید.

۲-۲- عملیات گرد کردن بهینه (روش تخلیص)

با شروع از تکرار پایانی به دست آمده از الگوریتم فوق، با مقدار هدف $C'X < \varepsilon$ ، روند مورد بحث یک جواب نقطه رأسی را با استفاده از روش زیر، معروف به روش تخلیص پیدا می کند. اگر n تا از محدودیت های مستقل خطی در X_k مار باشند، با توجه به تعریف نقطه رأسی می دانیم که X_k یک جواب پایه ای بهینه است. در غیر این صورت جهتی چون

تاسال ۱۹۸۴ زمانی که کارمارکار، الگوریتم چند جمله ای زمانی خود را برای حل مسائل برنامه ریزی خطی ارائه داد، روش سیمپلکس رقیب چندانی نداشت. بعد از ارائه الگوریتم کارمارکار تکنیک های مختلفی برای بهبود این روش ارائه شدند، و برخی ها در یکپارچه سازی دیدگاه های مختلف این تکنیک ها تلاش کردند. کارمارکار در روش خود، پارامتر α_k ای را چنان ارائه کرد که میزان کاهش تابع پتانسیل در دو تکرار متوالی $0/2$ باشد. بعد از کار مارکار، شریگور، پارامتر α_s دیگری ارائه کرد که مطابق آن میزان کاهش تابع پتانسیل در دو تکرار متوالی حداقل $0/30685$ است. در این مقاله با ارائه α_n جدید ثابت می کنیم که حداقل میزان کاهش تابع پتانسیل در دو تکرار متوالی از α_k و α_s بیشتر است.

۲- الگوریتم تصویری کارمارکار

الگوریتم کارمارکار مسائل برنامه ریزی به فرم زیر را در نظر می گیرد:

$$\begin{aligned} \min \quad & C'X \\ \text{st} \quad & AX=0 \\ & \sum_{i=1}^n x_i = 1 \\ & X \geq 0 \end{aligned} \quad (1)$$

که A ماتریس $m \times n$ از رتبه m است و $X = (x_1, \dots, x_n)$ و $n \geq 2$ و A و C دارای مولفه های صحیح دارند. همچنین فرضیات زیر برقرار است:

(i) نقطه $(1/n, \dots, 1/n)$ یک نقطه موجه مساله است.

(ii) مقدار بهینه تابع هدف مساله صفر است.

۲-۱- خلاصه روش کارمارکار

شروع: قرار دهید: $k=0$ و محاسبه کنید

$d \neq 0$ در فضای متغیرهای غیر پایه وجود دارد که در دستگاه معادلات همگن متناظر با محدودیت های فعال صدق می کند. اینک روش تخلیص تکرار جاری را، چنانچه $C'd < 0$ در راستای d و یا در غیر این صورت در راستای $-d$ ، ادامه می دهد، تا اینکه محدودیتی هر حرکت اضافی را با فرض شدنی بودن مسدود کند. [۲] و [۵].

۳- تابع پتانسیل کارمارکار

کارمارکار تابع پتانسیل زیر را در بررسی روش خود استفاده کرد:

$$f(X) = \Phi_X(X) = n \ln(CX) - \sum_{i=1}^n \ln(x_i)$$

در ابتدا، کارمارکار با ارائه $\alpha = \frac{n-1}{3n}$ ، ثابت کرد مقدار کاهش تابع پتانسیل در دو تکرار متوالی در حدود 0.2 است. [۲] و [۵]. شریگور با قرار دادن $\alpha = \frac{1}{1+r}$ ، ثابت کرد میزان کاهش تابع پتانسیل در دو تکرار متوالی حداقل 0.30685 است. وی برای اثبات ادعای خود لم ها و قضیه زیر را اثبات کرد. [۶] و [۸]:
لم (۱): اگر $X \in \sum_n$ آنگاه:

$$C'X \leq \exp\left(\frac{\Phi_k(X)}{n}\right)$$

لم (۲): اگر X و Z بردارهای مثبتی در \sum_n باشد و $Y = T_X(Z)$ در این صورت:

$$\Phi_k(X) - \Phi_k(Y) = n \ln \frac{(XC)'e}{(XC)'X} + \sum_{i=1}^n \ln(z_i)$$

لم (۳): با قرار دادن $\alpha = \frac{1}{1+r}$ هر تکرار از الگوریتم تصویری مقدار تابع پتانسیل را حداقل به اندازه 0.30685 کاهش می دهد.

قضیه ۱: بعد از تعداد تکرار نایبتر از $\frac{n}{\Psi(1)} \ln\left(\frac{C'e}{\varepsilon}\right)$ الگوریتم کارمارکار با $\alpha = \frac{1}{1+r}$ در یک نقطه شدنی X که $C'X \leq 0$ متوقف می شود.

هر چند که به نظر می رسد $\alpha = \frac{1}{1+r}$ ماکسیمال کننده اختلاف پتانسیل در دو تکرار متوالی است، اما ما قادر خواهیم بود تا

α دیگری را که وابسته به n (تعداد متغیرهای مسئله) می باشد چنان ارائه کنیم تا واقعاً اختلاف پتانسیل بیشتری را در هر دو تکرار متوالی شاهد باشیم. این به دلیل آن است که Schrijver بعضی از جملات اختلاف پتانسیل در دو تکرار متوالی را با فرض نا منفی بودن در نظر نگرفته است. ۴- پیشنهاد یک α جدید

در این قسمت، α جدیدی را ارائه می کنیم که همگرایی آن نسبت به دو α ارائه شده قبلی سریع تر و بهتر است. ما این α را با α_n نمایش می دهیم و α قبلی را با α_S نمایش می دهیم که اولین حرف از Schrijver ارائه کننده α فوق است. در این باره قضایایی رایبان و اثبات می کنیم:

لم ۴: با قراردادن $\alpha = 1 - \frac{1}{n^4(1+\sqrt{n(n-1)})}$ میزان کاهش تابع هدف بیشتر از میزان کاهش توسط α های ارائه شده قبلی است. و نیز وقتی $n \rightarrow \infty$ در این صورت: $\alpha_S \equiv \alpha_n$. برهان: با توجه به اینکه میزان کاهش تابع هدف در هر تکرار از فرمول زیر محاسبه می شود:

$$C'x^1 = \left(1 - \frac{\alpha}{n-1}\right) C'x_0$$

بنابراین بیشترین میزان کاهش را زمانی خواهیم داشت که $1 - \frac{\alpha}{n-1}$ عددی کوچک باشد، یعنی با توجه به اینکه $\alpha \in (0,1)$ ، α راطوری انتخاب می کنیم که به عدد یک خیلی نزدیک تر باشد. پس:

$$\alpha_n = 1 - \varepsilon_n$$

اینک می خواهیم داشته باشیم:

$$\alpha_S = \frac{1}{1+r} < \alpha_n = 1 - \varepsilon_n < 1$$

بنابراین داریم: $\varepsilon_n < \frac{1}{1+r}$ ، با جایگذاری r بر حسب n داریم:

$$\varepsilon_n < \frac{1}{1+\sqrt{n(n-1)}}$$

که برای $\varepsilon_n = \frac{1}{1+\sqrt{n(n-1)}}$ همان α_S به دست خواهد آمد. حال اگر قرار دهیم:

$$\varepsilon_n = \frac{1}{n^4(1+\sqrt{n(n-1)})}$$



در این صورت $\alpha_S < \alpha_n$ و بنابراین میزان کاهش مقدار تابع هدف بیشتر خواهد بود. حال وقتی n خیلی بزرگ می شود $1 \rightarrow \alpha_S$ و نیز $1 \rightarrow \alpha_n$ ، با توجه با اینکه همواره داریم: $\alpha_S < \alpha_n$ بنابراین برای n های بزرگ داریم: $\alpha_S \cong \alpha_n$. اینک قضیه ای بیان می شود که نشان دهنده میزان کاهش تابع پتانسیل در هر تکرار با توجه به α_n است.

قضیه ۲: با انتخاب α_n به طریق فوق میزان کاهش تابع پتانسیل در هر تکرار حداقل برابر خواهد بود با:

$$0.30689 + (\alpha_n - \alpha_S)r^2 + \frac{r^2}{2}(\alpha_n^2 - \alpha_S^2)\left(\frac{n}{R^k} - 1\right)$$

برهان: اگر اختلاف تابع پتانسیل در دو تکرار متوالی توسط α_i و α_n رابه ترتیب با Δ_n و Δ_S نمایش دهیم از لم (۳) خواهیم داشت:

$$\Delta_n \geq \alpha_n r^2 + n\Psi\left(-\alpha_n \frac{r}{R}\right) - \Psi(-\alpha_n r)$$

و نیز:

$$\Delta_S \geq \alpha_S r^2 + n\Psi\left(-\alpha_S \frac{r}{R}\right) - \Psi(-\alpha_S r)$$

با قراردادن $\Psi(t) = t - \ln(1+t)$ به دست می آید:

$$\Delta_n \geq \alpha_n r^2 + \alpha_n r + \ln(1 - \alpha_n r) - n\alpha_n \frac{r}{R} - n\ln\left(1 - \alpha_n \frac{r}{R}\right)$$

با استفاده از بسط تابع \ln خواهیم داشت:

$$\Delta_n \geq \alpha_n r^2 + \frac{r^2}{2}\alpha_n^2\left(\frac{n}{R^2} - 1\right) + \dots + \frac{r^k}{k}\alpha_n^k\left(\frac{n}{R^k} - 1\right) + \dots = \Delta_{n\infty} \quad (2)$$

و در مورد α_S خواهیم داشت:

$$\Delta_S \geq \alpha_S r^2 + \frac{r^2}{2}\alpha_S^2\left(\frac{n}{R^2} - 1\right) + \dots + \frac{r^k}{k}\alpha_S^k\left(\frac{n}{R^k} - 1\right) + \dots = \Delta_{S\infty}$$

می دانیم که $\Delta_{n\infty}, \Delta_{S\infty} \geq 0$ (زیرا $r \geq 0$ و $\alpha_n, \alpha_S \geq 0$) و از طرفین رابطه (۲) خواهیم داشت:

$$\Delta_n - \Delta_{S\infty} \geq \Delta_{n\infty} - \Delta_{S\infty}$$

با توجه با اینکه از لم (۱)، $\Delta_{S\infty} \geq \Psi(1)$ در نتیجه خواهیم داشت:

$$\Delta_n - \Psi(1) \geq \Delta_{n\infty} - \Delta_{S\infty}$$

با تفاضل دو رابطه اخیر خواهیم داشت:

$$\Delta_n \geq \Psi(1) + (\alpha_n - \alpha_S)r^2 + \frac{r^2}{2}(\alpha_n^2 - \alpha_S^2)\left(\frac{n}{R^2} - 1\right) + \dots$$

و بدین ترتیب قضیه اثبات می شود.

قضیه ۳: بعد از تکرار نا بیشتر از:

$$\frac{n}{\Psi(1) + (\alpha_n - \alpha_S)r^2 + \frac{r^2}{2}(\alpha_n^2 - \alpha_S^2)\left(\frac{n}{R^2} - 1\right)} \ln\left(\frac{C'e}{\varepsilon}\right)$$

الگوریتم با یک نقطه شدنی x که $C'x \leq 0$ متوقف می شود.

برهان: اثبات مشابه قضیه (۱) است، فقط به جای $\Psi(1)$ از فرمول زیر استفاده می کنیم:

$$\Psi(1) + (\alpha_n - \alpha_S)r^2 + \frac{r^2}{2}(\alpha_n^2 - \alpha_S^2)\left(\frac{n}{R^2} - 1\right)$$

در زیر نمودارهای ارائه می کنیم که نشان دهنده میزان افزایش تعداد تکرار بر حسب میزان افزایش است.

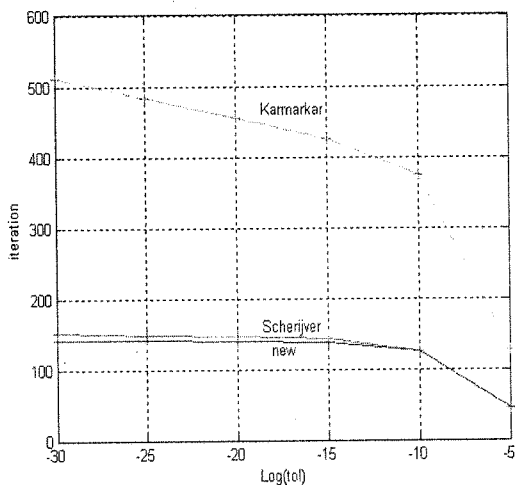
مثال ۱ - (Klee & Hinty) [۳]

$$\begin{aligned} \text{Max} \quad & y_1 + y_2 + y_3 \\ \text{S.t} \quad & y_1 \leq 1 \\ & 2y_1 + y_2 \leq \frac{1}{2} \\ & 2y_1 + 2y_2 + y_3 \leq \frac{1}{4} \\ & y_1, y_2, y_3 \geq 0 \end{aligned}$$

مثال ۳- مثالی از یک مسأله 50×50 :

$$\begin{aligned} \text{Max} \quad & \sum_{j=1}^{50} x_j \\ \text{S.t} \quad & IX = 1 \\ & X \geq 0 \end{aligned}$$

که در آن I ماتریس 50×50 بوده و بردارهای X، 1، بردارهای 1×50 است.

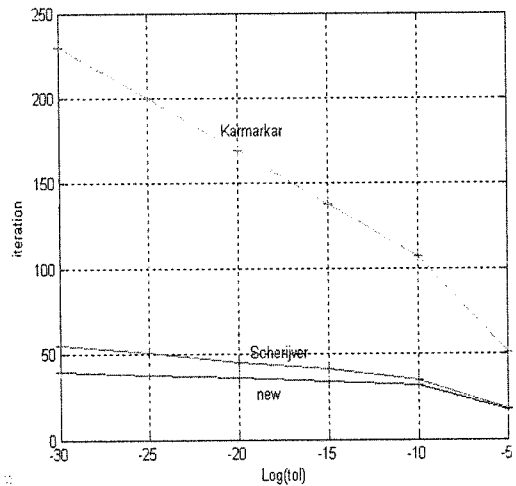


شکل (۳): نمودار افزایش تعداد تکرار بر حسب افزایش دقت برای مثال ۳

مثال ۴- مثالی از یک مسأله 100×100 :

$$\begin{aligned} \text{Max} \quad & \sum_{j=1}^{100} x_j \\ \text{S.t} \quad & IX = 1 \\ & X \geq 0 \end{aligned}$$

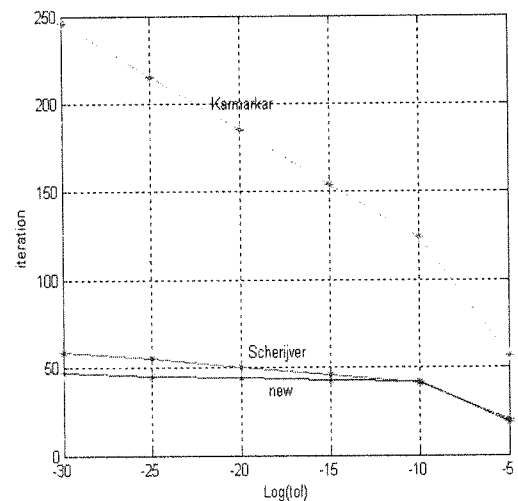
که در آن I ماتریس 100×100 بوده و بردارهای X، 1، بردارهای 1×100 است.



شکل (۱): نمودار افزایش تعداد تکرار بر حسب افزایش دقت برای مثال ۱

مثال ۲- (Manfred Padberg) [Y]

$$\begin{aligned} \text{Max} \quad & 16x_1 + 4x_2 + x_3 \\ \text{S.t} \quad & x_1 \leq 1 \\ & 12x_1 + x_2 \leq 8 \\ & 48x_1 + 12x_2 + x_3 \leq 64 \\ & x_1, x_2, x_3 \geq 0 \end{aligned}$$

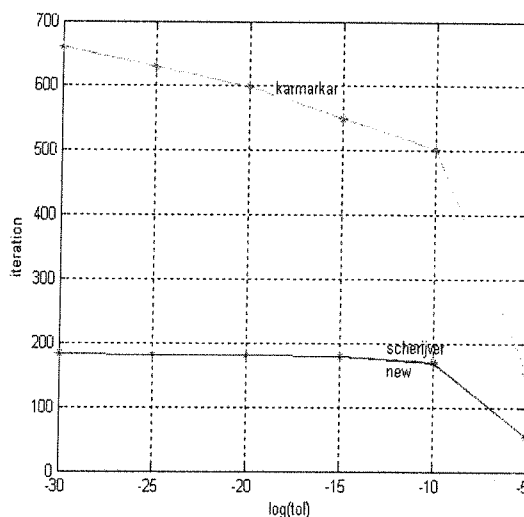


شکل (۲): نمودار افزایش تعداد تکرار بر حسب افزایش دقت برای مثال ۲



منابع و مراجع

- [۱] آریانزاد، میر بهادر قلی؛ برنامه ریزی خطی و الگوریتم کارمارکار، دانشگاه علم و صنعت ایران؛ ۱۳۷۰
- [۲] Adler, I., M.G.C. Resende, and G. Veiga; "An implementation of Karmarkar's algorithm for linear programming", Operations Research Center, Report 86-8, University of California at Berkeley.
- [۳] Bazzara M.S.; Jarvis J.; Sherali H; "Linear programming and network flows", John Wiley & Sons Canada, 1984
- [۴] Gonzaga, C. "An algorithm for Solving linear programming problems in $O(n^3 L)$ operations", Memo no. UCB/ERL M87/10, Electronic Research Laboratory, College of Engineering, University of California, Berkeley, CA 94720, 1987.
- [۵] Hertog D.; den Roos C. "A survey of search directions in interior point methods for linear programming", Mathematical Programming, 52:481-509, 1991.
- [۶] Karmarkar N; "A new polynomial time algorithm for linear programming", combinatorica, 4, pp, 373-395; 1984
- [۷] Pedberg M. W. "Linear Optimization and extension: problems and solution", Springer, 1992.
- [۸] Roos C; Terlaki T; Vial J; "Optimization theory and algorithm for linear programming optimization", princeton university 2001.
- [۹] Rao SS; "Optimization theory and application", kanpor; 1991
- [۱۰] Scherijver A. "Theory of linear and integer Programming", John Wiley & Sons, New York, 1986
- [۱۱] Shanno D.F. "Computing Karmarkar projective quickly", Mathematical Programming 41:61-71, 1988.
- [۱۲] Taha H., "Linear programming and its application", Mcmilan, 2000



شکل (۴): نمودار افزایش تعداد تکرار بر حسب افزایش دقت برای مثال ۴

نتیجه گیری

برای مسأله با ابعاد کوچک، دو مثال از مثال های الگوی، "مانفرد پادبرگ" و نیز "کلی و هینتی" مورد ارزیابی قرار گرفته- اند. این مثال ها از مسائل مهمی هستند که روش سیمپلکس در حل آنها دچار مشکل شده و با بررسی کلیه نقاط رأسی (برای n نقطه $2^n - 1$ نقطه رأسی را می پیماید) به نقطه بهینه دست می یابد، اما همان طور که از شکل های (۱) و (۲) مشخص است روش ارتقا یافته جدید با تعداد گام های کمتری نسبت به روش کلاسیک کارمارکار و شریگور به جواب بهینه دست می یابد. برای مسأله با ابعاد بزرگ، همان طور که در مثال های (۳) و (۴) مشخص است با توجه به خصوصیات الگوریتم کارمارکار، الگوریتم جدید شبیه به الگوریتم شریگور و بهتر از کارمارکار کلاسیک عمل می کند. بنابراین، هم از نظر تئوری و هم از نظر عددی برتری روش ارتقاء یافته جدید، نسبت به روش های دیگر مبتنی بر الگوریتم نقطه درونی کارمارکار، تأیید می شود.